

# Proračun drvenog stambenog objekta

---

Škarica, Domagoj

**Undergraduate thesis / Završni rad**

**2018**

*Degree Grantor / Ustanova koja je dodijelila akademski / stručni stupanj:*

**University of Split, Faculty of Civil Engineering, Architecture and Geodesy / Sveučilište u Splitu, Fakultet građevinarstva, arhitekture i geodezije**

*Permanent link / Trajna poveznica: <https://urn.nsk.hr/urn:nbn:hr:123:665436>*

*Rights / Prava: [In copyright/Zaštićeno autorskim pravom.](#)*

*Download date / Datum preuzimanja: **2024-08-03***

*Repository / Repozitorij:*



[FCEAG Repository - Repository of the Faculty of Civil Engineering, Architecture and Geodesy, University of Split](#)



**SVEUČILIŠTE U SPLITU  
FAKULTET GRAĐEVINARSTVA, ARHITEKTURE I GEODEZIJE**

# **ZAVRŠNI RAD**

**Domagoj Škarica**

**Split, 2018.**

**SVEUČILIŠTE U SPLITU  
FAKULTET GRAĐEVINARSTVA, ARHITEKTURE I GEODEZIJE**

**Proračun drvenog stambenog objekta**

**Završni rad**

**Split, 2018.**

**Sažetak:**

U radu je prikazan proračun nosivog sustava drvenog stambenog objekta prema priloženoj skici i na temelju zadanih podataka o materijalu. Objekt je visine 8m s tlocrtnim oblikom nepravilnog šesterokuta duljine stranica 6m. Elementi su izvedeni od punog drva i lijepljeno lameliranog drva.

**Ključne riječi:**

Drvo, zgrada, nosivi sustav, dimenzioniranje

## **Structural analysis of a residential timber building**

**Abstract:**

The paper presents the calculation of the bearing system of a residential timber building according to the attached sketch and based on the given material data.

The object is 8m in height with a floor plan form of a irregular hexagon with side lengths of 6m. Structural members are made of softwood and glulam timber.

**Keywords:**

Timber, building, load-bearing, design

**SVEUČILIŠTE U SPLITU  
FAKULTET GRAĐEVINARSTVA, ARHITEKTURE I GEODEZIJE**

Split, Matice hrvatske 15

**STUDIJ: PREDDIPLOMSKI SVEUČILIŠNI STUDIJ  
GRAĐEVINARSTVA**

**KANDIDAT:** Domagoj Škarica

**BROJ INDEKSA:** 4195

**KATEDRA:** **Katedra za metalne i drvene konstrukcije**

**PREDMET:** Osnove drvenih konstrukcija

**ZADATAK ZA ZAVRŠNI RAD**

Tema: Proračun drvenog stambenog objekta

Opis zadatka: Tema rada je proračun drvenog objekta prema priloženoj skici na temelju zadanih dimenzija i podataka o lokaciji i vrsti materijala. Proračun obuhvaća dimenzioniranje svih elemenata glavnog nosača, prostorne stabilizacije i dimenzioniranje pripadajućih spojeva.

U Splitu, travanj 2018.

Voditelj Završnog rada:

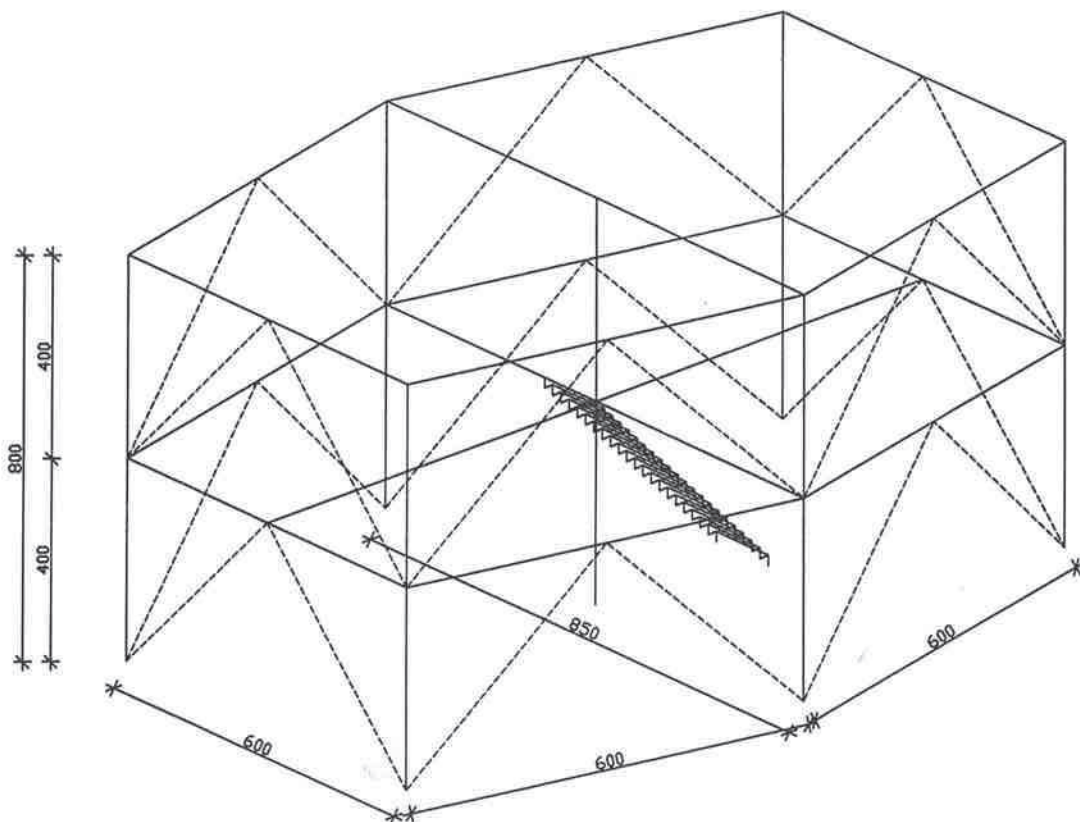
doc. dr. sc. Neno Torić

SVEUČILIŠTE U SPLITU  
FAKULTET GRAĐEVINARSTVA, ARHITEKTURE I GEODEZIJE

PREDDIPLOMSKI STUDIJ  
PREDMET: OSNOVE DRVENIH KONSTRUKCIJA  
ZAVRŠNI RAD

Potrebno je konstruirati i dimenzionirati nosivi sustav drvenog objekta prema priloženoj skici:

3D-MODEL OBJEKTA



PODACI:

- \* Lokacija: područje Zagreba
- \* Materijal konstrukcije: C24/uporabna klasa II
- \* Način izvedbe: montažno
- \* Greda: LLD GL24H/uporabna klasa II
- \* stabilizacija: drvena C24

Datum izdavanja završnog rada: 05.04.2018.

STUDENT/ICA:

DOMAGOJ ŠKARICA

PREDMETNI NASTAVNIK:

doc. dr. sc. Neno Torić

PREDMETNA ASISTENTICA:

Jelena Lovrić, mag.ing.aedif.

## Sadržaj

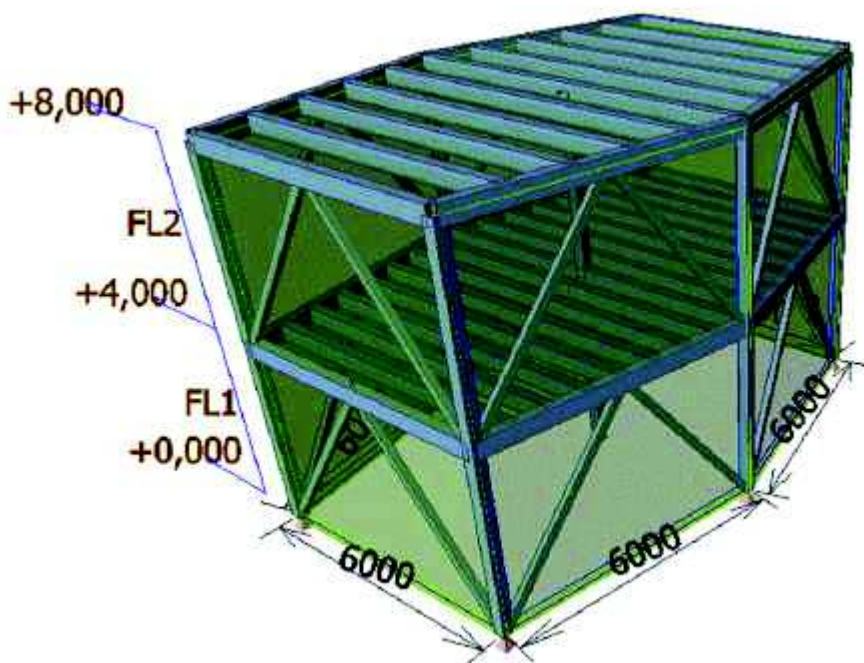
1	TEHNIČKI OPIS .....	2
1.1	GEOMETRIJSKE KARAKTERISTIKE KONSTRUKCIJE .....	3
1.2	STATIČKA ANALIZA SUSTAVA .....	5
1.3	KONSTRUKTIVNI ELEMENTI.....	5
1.4	ZAŠTITA I PRIPREMA ZA TRANSPORT.....	5
1.5	TRANSPORT I MONTAŽA .....	5
2	PRORAČUN I DIMENZIONIRANJE KONSTRUKCIJE .....	7
2.1	ANALIZA OPTEREĆENJA.....	8
2.1.1	DJELOVANJA.....	8
2.1.2	KOMBINACIJE DJELOVANJA.....	15
2.2	STATIČKI PRORAČUN ZA GSN- EN 1995-1-1 .....	16
2.3	SPOJEVI.....	25
2.3.1	SPOJ GREDA-STUP ->DETALJ "A".....	25
2.3.2	SPOJ GREDA-GREDA->DETALJ "B" .....	26
2.3.3	SPOJ STUP-TEMELJ → metalna pločica ->DETALJ "C" .....	27
3	LITERATURA.....	29
4	PLANOVI POZICIJA.....	30

## **1 TEHNIČKI OPIS**

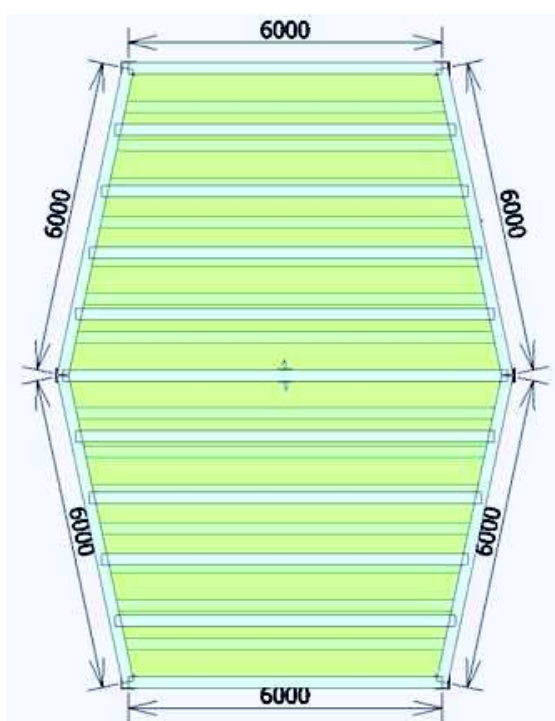
## 1.1 GEOMETRIJSKE KARAKTERISTIKE KONSTRUKCIJE

Predmetna građevina je šesterokutnog tlocrtnog obilka duljina stranica 6m i ukupne visine 8m. Građevina je sastavljena od glavnih nosača, stupova i greda te sekundarnih nosača koji služe za stabilizaciju. Krov je ravan, ukupna tlocrtna površina građevine iznosi  $99,76\text{m}^2$  te je projektirana kao stambeni prostor. Građevina je temeljena na temeljima samcima.

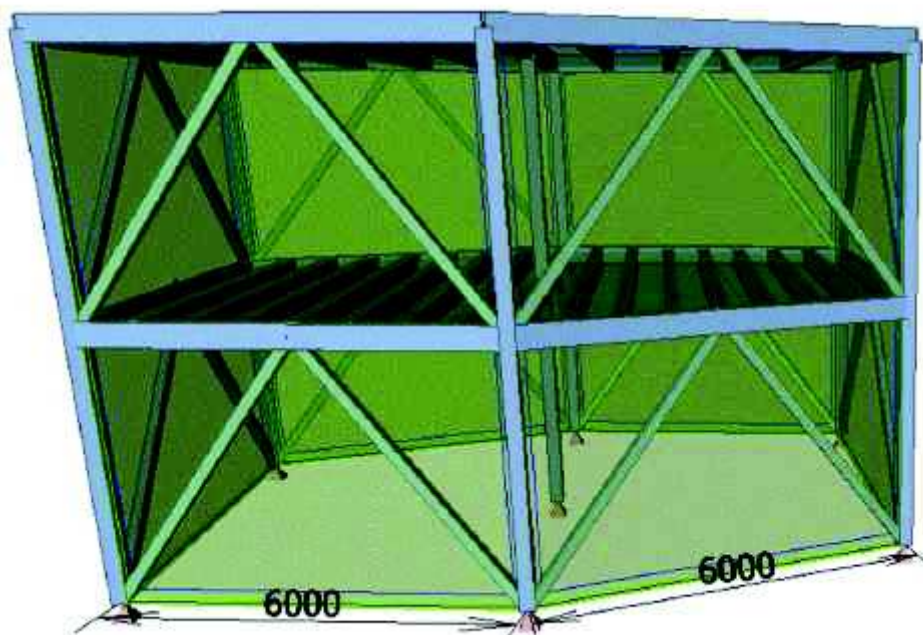
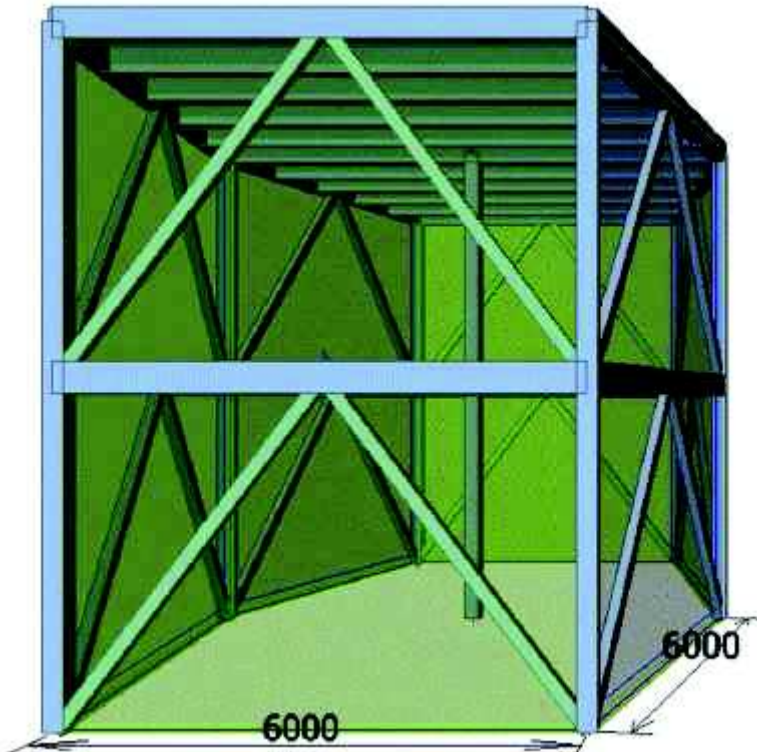
Prikaz 3D modela konstrukcije



Tlocrt konstrukcije



## Pogledi na konstrukciju



## 1.2 STATIČKA ANALIZA SUSTAVA

Proračun je izvršen prema EC1 i EC5. Konstrukcija je izložena djelovanju sljedećih opterećenja: vlastita težina,dodatno stalno opterećenje,korisno opterećenje,snijeg i vjetar. Predmetna građevina se nalazi na području Zagreba, 100-200 m nadmorske visine, kategorija zemljišta III. Odgovarajući koeficijenti za vjetar i snijeg uzeti su prema tome iz propisanih tablica.

Za statički proračun GSN upotrijebljene su kombinacije na temelju proračunskih djelovanja EN STR/GEO(skupina b),a za GSU karakteristična(rijetka) i nazovistalna kombinacija koje generira software.

Proračun reznih sila je obavljen pomoću računalnog programa Scia Engineer,na način da su umetnuti zglobovi na mjestima spajanja greda stabilizacije sa stupovima i ostalim gredama.

## 1.3 KONSTRUKTIVNI ELEMENTI

Grede

Proračunom su odabrane lijepljeno lamelirane grede klase GL 24h,poprečnog presjeka 220/360mm.

Stupovi

Proračunom su odabrani stupovi od punog drva klase C24 ukupne dužine 8000 (mm),poprečnog presjeka 220/240mm.

Stabilizacija

Proračunom odabrane grede od punog drva klase C24,poprečnog presjeka 140/160mm.

## 1.4 ZAŠTITA I PRIPREMA ZA TRANSPORT

Zaštita nosivih elemenata se vrši fungicidnim premazima za zaštitu od prodora vode i nametnika. Zaštita se nanosi u tri sloja, s tim da se dva sloja nanose u tvornici prije transporta, a treći, završni sloj nanosi se nakon definitivne montaže. Nosači se nakon ove operacije pakiraju u PVC da bi se zaštitili od vlage u narednim fazama, a ako se radi o težim transportima mogu se zaštiti i od mehaničkih oštećenja.

## 1.5 TRANSPORT I MONTAŽA

Planom transporta prikazuje se i opisuje način transporta te dokazuje mehanička otpornost i stabilnost kod kritičnih operacija i specifičnih načina oslanjanja ili položaja LLN. Transportni putovi moraju biti utvrđeni, pri čemu se mora voditi računa o radiusima

krivina prema zahtjevima specijalnih vozila i slobodnim profilima. Montaža se mora provest prema planu montaže.

Izvođač je dužan izraditi plan montaže nosača kojeg treba zajedno s transportnim planom dostaviti nadzornoj službi za suglasnost. Plan montaže ovjerava projektant konstrukcije. Transport i montažu treba obaviti tako da se izbjegnu moguća oštećenja dijelova konstrukcije.

## 2 PRORAČUN I DIMENZIONIRANJE KONSTRUKCIJE

## 2.1 ANALIZA OPTEREĆENJA

### 2.1.1 DJELOVANJA

#### 2.1.1.1 LC1-vlastita težina

Opterećenje ovisno o geometrijskim i materijalnim karakteristikama nosivih elemenata.  
Opterećenje se automatski generira softwareskim paketima.

#### 2.1.1.2 LC2-dodatno stalno djelovanje

Djelovanje od težine slojeva poda,krovnih panela itd.

#### Opterećenje ravног krova:

-sendvič panel (10 cm)	0,21 kN/m <sup>2</sup>
-instalacije	0,10 kN/m <sup>2</sup>
<b>UKUPNO</b>	<b>0,31 kN/m<sup>2</sup></b>

#### Opterećenje međukatne konstrukcije:

-parket (2 cm)	0,12 kN/m <sup>2</sup>
-cementni estrih (4 cm)	0,96 kN/m <sup>2</sup>
-stropor	0,02 kN/m <sup>2</sup>
-vlagootporna ploča od iverice (18mm)	0,11 kN/m <sup>2</sup>
-mineralna vuna između greda (20 cm)	0,10 kN/m <sup>2</sup>
-drvene grede	Uključeno u vlastitu težinu
-vatrootporne gipsane ploče (12,5 mm)	0,09 kN/m <sup>2</sup>
<b>UKUPNO</b>	<b>1,4 kN/m<sup>2</sup></b>

### 2.1.1.3 LC3-korisno djelovanje

Kategorija	Namjena	Primjer
A	Prostori za stanovanje i kućanske djelatnosti	Sobe u stambenim zgradama i kućama, sobe i odjeli u bolnicama; sobe u hotelima i prenoćištima, kuhinje i kupaonice
B	Uredski prostori	
C	Prostori gdje se mogu okupljati ljudi (osim prostora određenih u kategorijama A, B i D <sup>1</sup> )	C1: Prostорије са столовима и сл., примјерично у школама, каванама, ресторанима, благојаonicама, читаоницама, recepcijama C2: Prostори са непомићним sjedalima, примјерично у црквама или kinima, sobe за sastanke, dvorane за predavanja, dvorane za skupove, željezničke čekaonice i sl. C3: Prostori bez zapreka za kretanje ljudi, примјерично у музејима, izložbenim prostорима и слично, te pristupi u javnim i upravnim zgradama, hotelima, bolnicama i željezničkim stanicama C4: Prostori gdje su moguće fizičke aktivnosti, примјерично plesne dvorane, gimnastičke dvorane, pozornice C5: Prostori za velika okupljanja ljudi, примјерично u zgradama za javne priredbe као што су koncertne dvorane, sportske dvorane uključujući gledališta, terase, prilaze i željezničke perone
D	Prodajni prostori	D1: Prostori u trgovinama D2: Prostori u robnim kućama

<sup>1</sup>Obratiti pažnju na točku 6.3.1.1(2), posebno za kategorije C4 i C5. Kad se dinamički učinci trebaju uzeti u obzir, vidjeti normu EN 1990. Za kategoriju E, vidjeti tablicu 6.3.

NAPOMENA 1: Ovisno o predviđenom načinu upotrebe, prostori koji bi mogli pripadati kategorijama C2, C3 i C4 smiju se odlukom investitora i/ili nacionalnim dodatkom svrstati u kategoriju C5

NAPOMENA 2: U nacionalnom dodatku smiju se odrediti potkategorije za A, B, C1 do C5, D1 i D2.

NAPOMENA 3: Za proizvodne djelatnosti ili skladištenje, vidjeti točku 6.3.2.

Opterećene	$q_k$ [kN/m <sup>2</sup> ]	$Q_k$ [kN]
<b>A - općenito</b>	2,0	2,0
- stubišta	3,0	2,0
- balkoni	4,0	2,0
<b>B</b>	3,0	2,0
<b>C - C1</b>	3,0	4,0
- C2	4,0	4,0
- C3	5,0	4,0
- C4	5,0	7,0
- C5	5,0	4,0
<b>D - D1</b>	5,0	4,0
- D2	5,0	7,0
<b>E</b>	6,0	7,0

Usvojeno opterećenje:  $q_k=2,0 \text{ kN/m}^2$  -> kategorija A, općenito za stambene prostore

#### 2.1.1.4 LC4-djelovanje snijega

$$s = s_k * \mu_i * c_e * c_t [ \text{kN/m}^2 ]$$

$s_k \Rightarrow$  karakteristična vrijednost opterećenja na tlu u  $\text{kN/m}^2$

$s_k = 1,25 \text{ kN/m}^2 \Leftrightarrow$  za Zagreb, od 100-200 metara nadmorske visine

- Nagib krova :

$\mu_i \Rightarrow$  koeficijent oblika za opterećenje snijegom , očitamo ga ovisno o  $\alpha$ ,  $\alpha$  je nagib krova

$\mu_i = 0,8 \Leftrightarrow$  za nagib krova  $0^\circ < \alpha < 30^\circ \quad \alpha_1 = \alpha_2$

$c_e \Rightarrow$  koeficijent izloženosti (uzima se 1,0)

$c_t \Rightarrow$  toplinski koeficijent (uzima se 1,0)

Opterećenje snijegom preko cijele krovne površine:  $s_1 = 0,8 * 1,0 * 1,0 * 1,25 = 1 [ \text{kN/m}^2 ]$

### 2.1.1.5 LC5 i LC6-djelovanje vjetra

$w_e = q_p(z_e) \cdot c_{pe}$  [ kN/m<sup>2</sup> ] - pritisak vjetra na vanjske površine

$w_i = q_p(z_i) \cdot c_{pi}$  [ kN/m<sup>2</sup> ] - pritisak vjetra na unutarnje površine

$q_p(z_e)$  => pritisak brzine vjetra pri udaru

$z_e, z_i$  => referentna visina za vanjski(unutarnji) pritisak

$c_{pe}$  => vanjski koeficijent pritiska

$c_{pi}$  => unutarnji koeficijent pritiska

Određivanje pritiska brzine vjetra pri udaru:

$$q_b = \frac{1}{2} \cdot \rho \cdot v_b^2 (kN / m^2)$$

$\rho$  => gustoća zraka(usvaja se  $\rho = 1,25 \text{ kg/m}^3$ )

$v_b$  => osnovna brzina vjetra

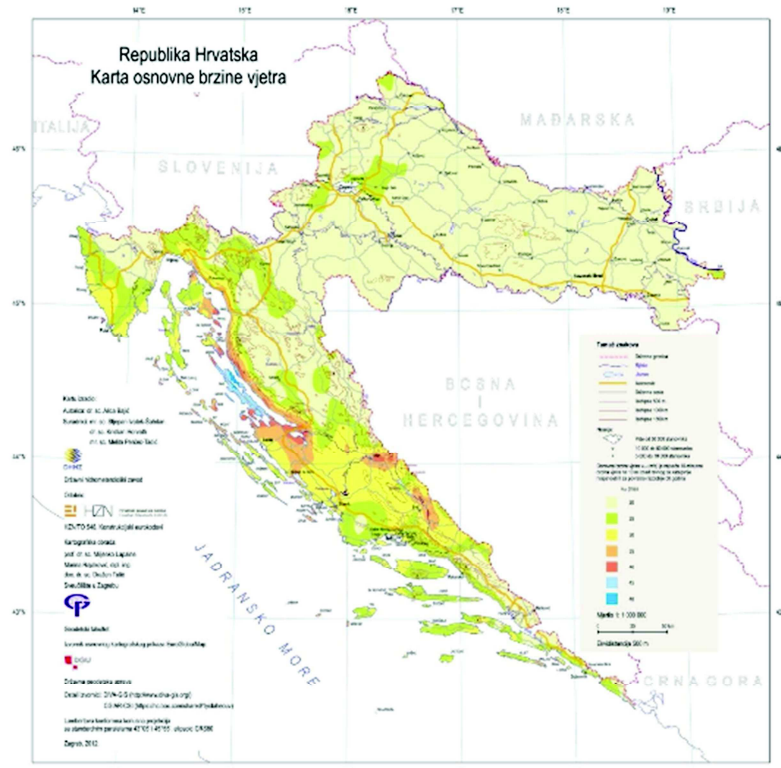
$$v_b = c_{\text{season}} \cdot c_{\text{dir}} \cdot v_{b,0} \text{ (m/s)}$$

$v_{b,0}$  => fundamentalna vrijednost brzine vjetra(očitano s karte  $v_{b,0} = 20 \text{ (m/s)}$ )

$c_{\text{dir}}$  => faktor smjera vjetra(uzima se 1,0)

$c_{\text{season}}$  => faktor doba godine(uzima se 1,0)

$$v_b = 20 \cdot 1,0 \cdot 1,0 = 20 \text{ (m/s)} \rightarrow q_b = \frac{1}{2} \cdot \rho \cdot v_b^2 = 0,5 \cdot 1,25 \cdot 20^2 = 0,250 \text{ (kN / m}^2\text{)}$$



Srednja brzina vjetra  $v_m(z)$  iznad terena:

$$v_m(z) = c_r(z) \cdot c_0(z) \cdot v_b \text{ (m/s)}$$

Faktor hrapavosti  $c_r(z)$ :

$$c_r(z) = k_r \cdot \ln(z/z_0) \text{ za } z_{\min} < z < z_{\max} \leftarrow$$

$$c_r(z) = c_r(z_{\min}) \text{ za } z < z_{\min}$$

$z_0$ -duljina hrapavosti (za kategoriju terena III;  $z_0=0,3\text{m}$ )

$z_{\min}$ -minimalna visina hrapavosti (za kategoriju terena III;  $z_{\min}=5,0\text{m}$ )

$z_{\max}$ -max.visina hrapavosti (usvaja se vrijednost 200m)

$z=8\text{m}$ (visina objekta)

$c_0(z) \Rightarrow$  faktor orografije(uzima se 1,0)

Faktor terena  $k_r(z)$  ovisan o duljini hrapavosti:

$$k_r = 0,19 \cdot (z_0/z_{0,II})^{0,07} = 0,19 \cdot (0,3/0,05)^{0,07} = 0,215$$

$$c_r(z) = k_r \cdot \ln(z/z_0) = 0,215 \cdot \ln(8/0,3) = 0,706$$

$$v_m(z) = 0,706 \cdot 1,0 \cdot 20 = 14,12 \text{ (m/s)}$$

$I_v(z) \Rightarrow$  intenzitet turbulencije

$k_1 \Rightarrow$ faktor turbulencije(uzima se 1,0)

$$I_v(z) = \frac{k_1}{c_0(z) \cdot \ln(z/z_0)} = \frac{1,0}{1,0 \cdot \ln(8/0,3)} = 0,305$$

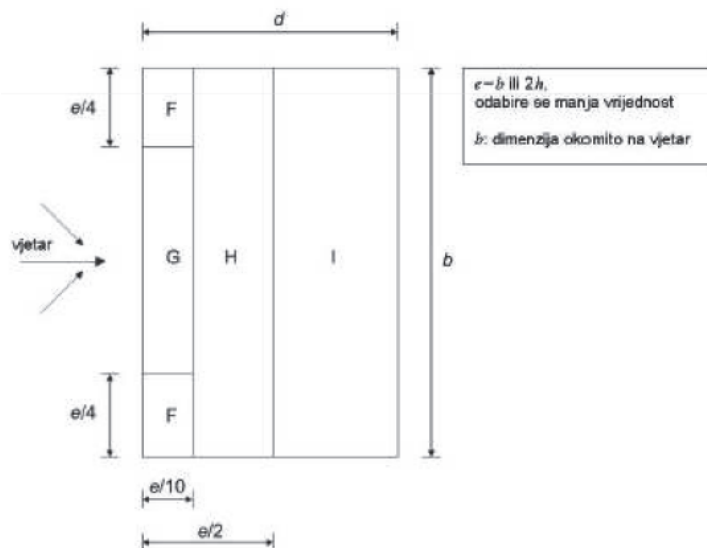
$c_e(z) \Rightarrow$  faktor izloženosti

Pritisak brzine vjetra pri udaru:

$$q_p(z) = c_e(z) \cdot q_b = (1+7 \cdot I_v(z)) \cdot \frac{1}{2} \cdot \rho \cdot {v_m}^2(z) = (1+7 \cdot 0,305) \cdot 0,5 \cdot 1,25 \cdot 14,12^2 = 0,391 \text{ (kN/m}^2\text{)}$$

## ODREĐIVANJE KOEFICIJENATA PRITISKA VJETRA

### RAVNI KROV

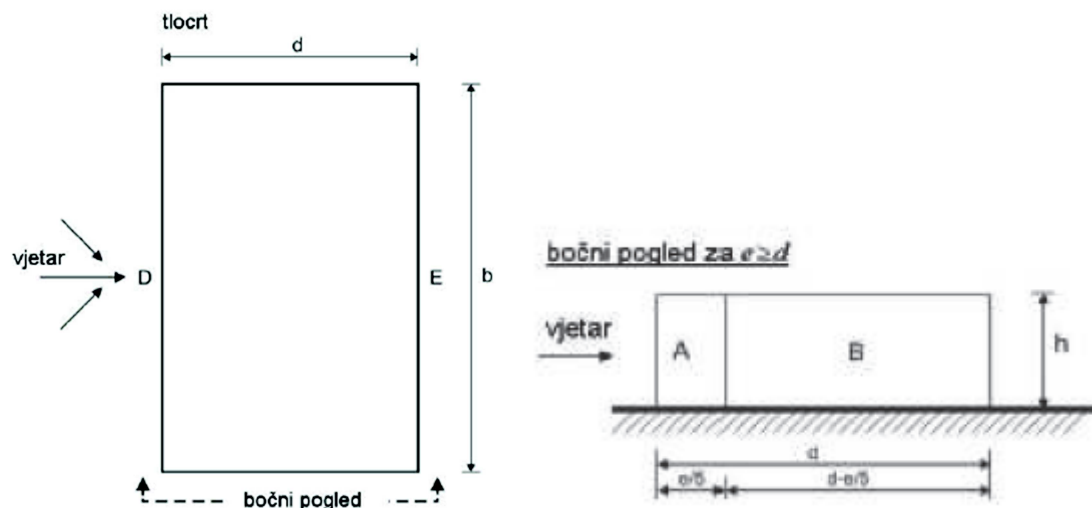


Izračun koef.  $e: ->e=\min(b;2h)(m)=\min(12;16)=12 ->e>d$

Koeficijenti djelovanja vanjskog pritiska:

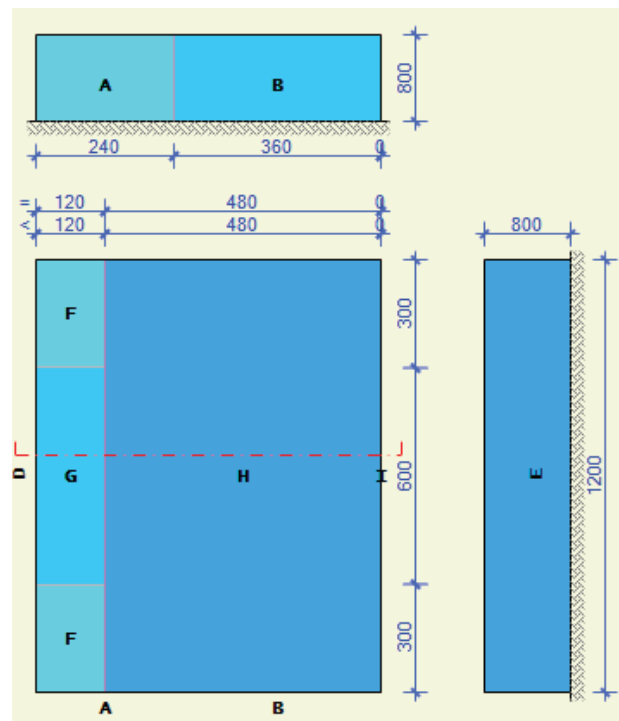
PODRUČJE	F	G	H	I
$c_{pe,10}$	-1,8	-1,2	-0,70	0,00

### VERTIKALNI ZIDOVI



Koeficijenti vanjskog pritiska za vertikalne zidove :

PODRUČJE	A	B	D	E
$c_{pe,10}$	-1,2	-0,8	+0,8	-0,5



Rezultirajuće djelovanje vjetra po zonama:

$$w_e = q_p(z_e) \cdot c_{pe} \quad [\text{kN/m}^2]$$

$$w_i = q_p(z_i) \cdot c_{pi} \quad [\text{kN/m}^2]$$

$$w_{uk} = w_e + w_i \quad [\text{kN/m}^2]$$

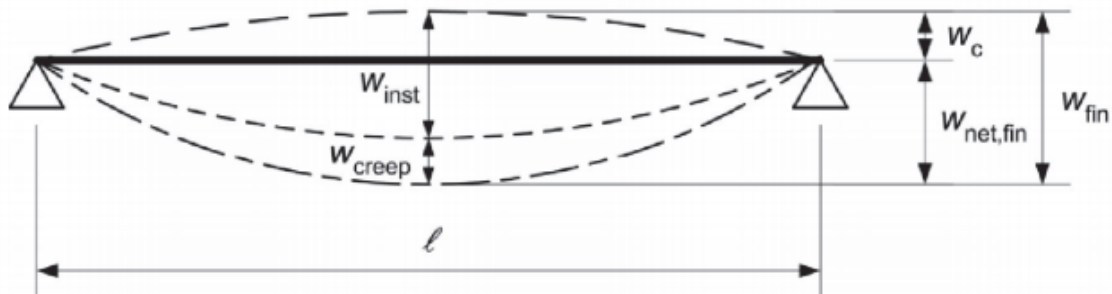
$$q_p = 0,391 \quad [\text{kN/m}^2]$$

VJETAR W1(NEGATIVNI UNUTARNJI PRITISAK) [kN/m <sup>2</sup> ]						
PODRUČJE	qp(ze)	Cpe,10	Cpi	we	wi	Wuk,max
A	0,391	-1,2	-0,30	-0,47	-0,12	-0,35
B	0,391	-0,80	-0,30	-0,31	-0,12	-0,19
D	0,391	+0,80	-0,30	0,31	-0,12	0,43
E	0,391	-0,5	-0,30	-0,20	-0,12	-0,08
F	0,391	-1,8	-0,30	-0,70	-0,12	-0,58
G	0,391	-1,2	-0,30	-0,47	-0,12	-0,35
H	0,391	-0,70	-0,30	-0,27	-0,12	-0,15
I	0,391	0,00	-0,30	0,00	-0,12	0,00

VJETAR W2(POZITIVNI UNUTARNJI PRITISAK) [kN/m <sup>2</sup> ]						
PODRUČJE	qp(ze)	Cpe,10	Cpi	we	wi	Wuk,max
A	0,391	-1,2	+0,2	-0,47	0,08	-0,55
B	0,391	-0,80	+0,2	-0,31	0,08	-0,39
D	0,391	+0,80	+0,2	0,31	0,08	0,23
E	0,391	-0,5	+0,2	-0,20	0,08	-0,28
F	0,391	-1,8	+0,2	-0,70	0,08	-0,78
G	0,391	-1,2	+0,2	-0,47	0,08	-0,55
H	0,391	-0,70	+0,2	-0,27	0,08	-0,35
I	0,391	0,00	+0,2	0,00	0,08	0,00

### 2.1.2 KOMBINACIJE DJELOVANJA

Za provjeru graničnog stanja uporabljivosti dokaz se provodi za karakterističnu(rijetku) i nazovistalnu kombinaciju koje generira software.



Member	Cross-section Material	$dx$ [m]	Load case $k_{def}$ [-]	Unity check [-]	$uy_{inst}$ uz inst [mm]	Rel $uy_{inst}$ [1/xx] Rel uz inst [1/xx]	Check $uy_{inst}$ [-] Check uz inst [-]	$uy_{fin}$ uz fin [mm]	Rel $uy_{fin}$ [1/xx] Rel uz fin [1/xx]	Check $uy_{fin}$ [-] Check uz fin [-]
B76	grede - RECT GL 24h (EN 14080)	4,094 0,60	Karakteristična(rijekta) komb./1	<b>0,95</b>	0,0 -15,6	1/10000 1/524	0,00 0,95	0,0 -21,6	1/10000 1/379	0,00 0,79
B46	stabilizacija - RECT C24 (EN 338)	0,000 0,60	Karakteristična(rijekta) komb./2	<b>0,57</b>	-5,7 0,0	1/881 0	0,57 0,00	-5,7 0,0	1/884 0	0,34 0,00
B87	stupovi - RECT C24 (EN 338)	2,000 0,60	Karakteristična(rijekta) komb./3	<b>0,41</b>	0,0 -3,2	1/10000 1/1234	0,00 0,41	0,0 -4,1	1/10000 1/965	0,00 0,31

Member	Cross-section Material	$dx$ [m]	Load case $k_{def}$ [-]	Unity check [-]	$uy_{inst}$ uz inst [mm]	Rel $uy_{inst}$ [1/xx] Rel uz inst [1/xx]	Check $uy_{inst}$ [-] Check uz inst [-]	$uy_{fin}$ uz fin [mm]	Rel $uy_{fin}$ [1/xx] Rel uz fin [1/xx]	Check $uy_{fin}$ [-] Check uz fin [-]
B76	grede - RECT GL 24h (EN 14080)	4,094 0,60	Nazovistalna komb./1	<b>0,79</b>	0,0 -9,9	1/10000 1/824	0,00 0,61	0,0 -21,6	1/10000 1/379	0,00 0,79
B45	stabilizacija - RECT C24 (EN 338)	5,000 0,60	Nazovistalna komb./1	<b>0,00</b>	0,0 0,0	1/10000 0	0,00 0,00	0,1 0,0	1/10000 0	0,00 0,00
B84	stupovi - RECT C24 (EN 338)	2,222 0,60	Nazovistalna komb./1	<b>0,25</b>	0,0 1,5	1/10000 1/2589	0,00 0,19	0,0 3,4	1/10000 1/1187	0,00 0,25

Za provjeru graničnog stanja nosivosti dokaz se provodi za kombinacije kreirane na temelju proračunskih vrijednosti djelovanja (STR/GEO) (skupina B) koje generira software.

## 2.2 STATIČKI PRORAČUN ZA GSN- EN 1995-1-1

POZ.1-Stup – presjek : 220/240 [mm] – C24

Kombinacija	
EN-ULS (STR/GEO) Set B	1,35*LC1+1,35*LC2+1,50*LC3+0,75*LC4+0,90*LC5

Osnovni podaci	
Parcijalni koeficijent sigurnosti $\gamma_m$ za puno drvo	1,30

Podaci o materijalu		
$f_{m,k}$	24,0	MPa
$f_{t,o,k}$	14,5	MPa
$f_{t,90,k}$	0,4	MPa
$f_{c,o,k}$	21,0	MPa
$f_{c,90,k}$	2,5	MPa
$f_{v,k}$	4,0	MPa
Tip drva	puno	

Rezne sile		
$N_{Ed}$	-91,44	kN
$V_{y,Ed}$	-0,00	kN
$V_{z,Ed}$	-7,90	kN
$T_{Ed}$	0,0	kNm
$M_{y,Ed}$	-13,03	kNm
$M_{z,Ed}$	0,00	kNm

Faktor modifikacije		
Trajanje opterećenja		kratkotrajno
Faktor modifikacije - $k_{mod}$		0,90

Tlačno naprezanje paralelno s vlakancima

$$\sigma_{c,0,d} \leq f_{c,0,d}$$

$\sigma_{c,0,d}$	1,7	MPa
$f_{c,0,d}$	14,5	MPa
Provjera	0,12	-

Tlačno naprezanje okomito na vlakanca

$$\sigma_{c,90,d} \leq k_{c,90} \cdot f_{c,90,d}$$

$$\sigma_{c,90,d} = \frac{F_{c,90,d}}{A_{ef}}$$

$F_{c,90,d}$	<b>8,41</b>	kN
$l$	<b>100</b>	mm
$l_{ef}$	<b>160</b>	mm
$b$	<b>220</b>	mm
$A_{ef}$	<b>35200</b>	mm <sup>2</sup>
$\sigma_{c,90,d}$	<b>≈ 0,2</b>	MPa
$h$	<b>240</b>	mm
$k_{c,90}$	<b>1,50</b>	-
$f_{c,90,d}$	<b>1,7</b>	MPa
<b>Provjera</b>	<b>0,09</b>	<b>zadovoljava</b>

Savijanje

$$\frac{\sigma_{m,y,d}}{f_{m,y,d}} + k_m \cdot \frac{\sigma_{m,z,d}}{f_{m,z,d}} \leq 1,0$$

$$k_m \cdot \frac{\sigma_{m,y,d}}{f_{m,y,d}} + \frac{\sigma_{m,z,d}}{f_{m,z,d}} \leq 1,0$$

$\sigma_{m,y,d}$	<b>6,2</b>	MPa
$k_{h,y}$	<b>1,00</b>	
$f_{m,y,d}$	<b>16,6</b>	MPa
$\sigma_{m,z,d}$	<b>0,0</b>	MPa
$k_{h,z}$	<b>1,00</b>	
$f_{m,z,d}$	<b>16,6</b>	MPa
$k_m$	<b>0,7</b>	

$$\frac{\sigma_{m,y,d}}{f_{m,y,d}} + k_m \cdot \frac{\sigma_{m,z,d}}{f_{m,z,d}} = 0,37 + 0,0 = 0,37 \leq 1,0 - \text{zadovoljava}$$

$$k_m \cdot \frac{\sigma_{m,y,d}}{f_{m,y,d}} + \frac{\sigma_{m,z,d}}{f_{m,z,d}} = 0,26 + 0,0 = 0,26 \leq 1,0 - \text{zadovoljava}$$

Poprečna sila

$$\tau_d \leq f_{v,d}$$

$k_{cr}$	<b>0,67</b>	-
$\tau_{y,d}$	<b>0,0</b>	MPa
$\tau_{z,d}$	<b>0,3</b>	MPa
$f_{v,d}$	<b>2,8</b>	MPa
<b>Provjera</b>		
$\tau_y$	<b>0</b>	<b>zadovoljava</b>
<b>Provjera</b>		
$\tau_z$	<b>0,12</b>	<b>zadovoljava</b>

Interakcija	0,01	zadovoljava
-------------	------	-------------

Kombinacija savijanja i uzdužne sile (tlačne)

$$\left(\frac{\sigma_{c,0,d}}{f_{c,0,d}}\right)^2 + \frac{\sigma_{m,y,d}}{f_{m,y,d}} + k_m \cdot \frac{\sigma_{m,z,d}}{f_{m.z.d}} \leq 1,0$$

$$\left(\frac{\sigma_{c,0,d}}{f_{c,0,d}}\right)^2 + k_m \cdot \frac{\sigma_{m,y,d}}{f_{m,y,d}} + \frac{\sigma_{m,z,d}}{f_{m.z.d}} \leq 1,0$$

$f_{c,0,d}$	14,5	MPa
$f_{m,y,d}$	16,6	MPa
$f_{m.z.d}$	16,6	MPa
$k_m$	0,70	-

$$\left(\frac{\sigma_{c,0,d}}{f_{c,0,d}}\right)^2 + \frac{\sigma_{m,y,d}}{f_{m,y,d}} + k_m \cdot \frac{\sigma_{m,z,d}}{f_{m.z.d}} = 0,01 + 0,37 + 0,00 = 0,39 \leq 1,0 - \text{zadovoljava}$$

$$\left(\frac{\sigma_{c,0,d}}{f_{c,0,d}}\right)^2 + k_m \cdot \frac{\sigma_{m,y,d}}{f_{m,y,d}} + \frac{\sigma_{m,z,d}}{f_{m.z.d}} = 0,01 + 0,26 + 0,00 = 0,27 \leq 1,0 - \text{zadovoljava}$$

Kontrola stabilnosti

Element izložen savijanju ili kombinaciji savijanja i tlačnog djelovanja

$$\sigma_{m,d} \leq k_{crit} \cdot f_{m,d}$$

$$\left(\frac{\sigma_{m,d}}{k_{crit} \cdot f_{m,d}}\right)^2 + \frac{\sigma_{c,0,d}}{k_{c,z} \cdot f_{c,o,d}} \leq 1,0$$

Parametri		
Elastični kritični moment $M_{y,crit}$	465,23	kNm
Kritično naprezanje uslijed savijanja $\sigma_{m,crit}$	220,3	MPa
$\lambda_{rel,m}$	0,33	-
$k_{crit}$	1,00	-
Provjera	0,37	zadovoljava
$M_{y,crit}$ parametri		
$G_{0,05}$	462,5	MPa
$L$	4,00	m
$L_{ef}/L$	0,90	
$L_{ef}$	3,600	m

Element izložen tlačnom naprezanju ili tlačnom naprezanju i savijanju

$$\frac{\sigma_{c,0,d}}{k_{c,y} \cdot f_{c,0,d}} + \frac{\sigma_{m,y,d}}{f_{m,y,d}} + k_m \cdot \frac{\sigma_{m,z,d}}{f_{m.z,d}} \leq 1,0$$

$$\frac{\sigma_{c,0,d}}{k_{c,z} \cdot f_{c,0,d}} + k_m \cdot \frac{\sigma_{m,y,d}}{f_{m,y,d}} + \frac{\sigma_{m,z,d}}{f_{m.z,d}} \leq 1,0$$

gdje je:

$$k_{c,y} = \frac{1}{k_y + \sqrt{k_y^2 + \lambda_{rel,y}^2}}$$

$$k_{c,z} = \frac{1}{k_z + \sqrt{k_z^2 + \lambda_{rel,z}^2}}$$

pri čemu vrijedi:

$$k_y = 0,5 \cdot (1 + \beta_c(\lambda_{rel,y} - 0,3) + \lambda_{rel,y}^2)$$

$$k_z = 0,5 \cdot (1 + \beta_c(\lambda_{rel,z} - 0,3) + \lambda_{rel,z}^2)$$

gdje je:

$$\beta_c = 0,2 \text{ za puno drvo}$$

	y-y	z-z	-
<b>L – duljina</b>	<b>4,000</b>	<b>4,000</b>	<b>m</b>
<b>k – koef. izvijanja</b>	<b>2,07</b>	<b>0,73</b>	<b>-</b>
<b>L<sub>cr</sub> – duljina izvijanja</b>	<b>8,295</b>	<b>2,920</b>	<b>m</b>
<b>vitkost – λ</b>	<b>119,73</b>	<b>45,98</b>	<b>-</b>
<b>relativna vitkost – λ</b>	<b>2,03</b>	<b>0,78</b>	<b>-</b>
<b>granica izvijanja</b>	<b>0,30</b>	<b>0,30</b>	<b>-</b>
<b>imperfekcije β<sub>c</sub></b>	<b>0,20</b>	<b>0,20</b>	<b>-</b>
<b>faktor redukcije k<sub>c</sub></b>	<b>0,22</b>	<b>0,84</b>	<b>-</b>

$$\frac{\sigma_{c,0,d}}{k_{c,y} \cdot f_{c,0,d}} + \frac{\sigma_{m,y,d}}{f_{m,y,d}} + k_m \cdot \frac{\sigma_{m,z,d}}{f_{m,z,d}} = 0,541 + 0,37 + 0,00 = 0,91 \leq 1,0 - \text{zadovoljava}$$

$$\frac{\sigma_{c,0,d}}{k_{c,z} \cdot f_{c,0,d}} + k_m \cdot \frac{\sigma_{m,y,d}}{f_{m,y,d}} + \frac{\sigma_{m,z,d}}{f_{m,z,d}} = 0,14 + 0,26 + 0,00 = 0,40 \leq 1,0 - \text{zadovoljava}$$

## POZ.2-Greda – presjek : 220/360 [mm] –GL 24h

Kombinacija	
EN-ULS (STR/GEO) Set B	1,35*LC1+1,35*LC2+1,50*LC3+0,75*LC4+0,90*LC6

Osnovni podaci	
Parcijalni koeficijent sigurnosti γ <sub>m</sub> za LLD	1,25

Podaci o materijalu		
f <sub>m,k</sub>	24,0	MPa
f <sub>t,o,k</sub>	19,2	MPa
f <sub>t,90,k</sub>	0,5	MPa
f <sub>c,o,k</sub>	24,0	MPa
f <sub>c,90,k</sub>	2,5	MPa
f <sub>v,k</sub>	3,5	MPa
Tip drva	Lijepljeno lamelirano	

Rezne sile		
$N_{Ed}$	<b>22,46</b>	kN
$V_{y,Ed}$	<b>-1,03</b>	kN
$V_{z,Ed}$	<b>-27,42</b>	kN
$T_{Ed}$	<b>-0,62</b>	kNm
$M_{y,Ed}$	<b>-15,52</b>	kNm
$M_{z,Ed}$	<b>-0,37</b>	kNm

Faktor modifikacije	
Trajanje opterećenja	kratkotrajno
Faktor modifikacije - $k_{mod}$	<b>0,90</b>

Vlačno naprezanje paralelno s vlakancima

$$\sigma_{t,0,d} \leq f_{t,0,d}$$

$\sigma_{t,0,d}$	<b>0,3</b>	MPa
$k_h$	<b>1,05</b>	-
$f_{t,0,d}$	<b>14,5</b>	MPa
Provjera	<b>0,02</b>	zadovoljava

Tlačno naprezanje okomito na vlakanca

$$\sigma_{c,90,d} \leq k_{c,90} \cdot f_{c,90,d}$$

$$\sigma_{c,90,d} = \frac{F_{c,90,d}}{A_{ef}}$$

$F_{c,90,d}$	<b>52,56</b>	kN
$l$	<b>100</b>	mm
$l_{ef}$	<b>160</b>	mm
$b$	<b>220</b>	mm
$A_{ef}$	<b>35200</b>	mm <sup>2</sup>
$\sigma_{c,90,d}$	<b>1,5</b>	MPa
$h$	<b>360</b>	mm
$k_{c,90}$	<b>1,00</b>	-
$f_{c,90,d}$	<b>1,8</b>	MPa
Provjera	<b>0,83</b>	zadovoljava

## Savijanje

$$\frac{\sigma_{m,y,d}}{f_{m,y,d}} + k_m \cdot \frac{\sigma_{m,z,d}}{f_{m,z,d}} \leq 1,0$$

$$k_m \cdot \frac{\sigma_{m,y,d}}{f_{m,y,d}} + \frac{\sigma_{m,z,d}}{f_{m,z,d}} \leq 1,0$$

$\sigma_{m,y,d}$	<b>3,3</b>	MPa
$k_{h,y}$	<b>1,05</b>	
$f_{m,y,d}$	<b>18,2</b>	MPa
$\sigma_{m,z,d}$	<b>0,1</b>	MPa
$k_{h,z}$	<b>1,0</b>	
$f_{m,z,d}$	<b>17,3</b>	MPa
$k_m$	<b>0,7</b>	

$$\frac{\sigma_{m,y,d}}{f_{m,y,d}} + k_m \cdot \frac{\sigma_{m,z,d}}{f_{m,z,d}} = 0,18 + 0,01 = 0,19 \leq 1,0 - \text{zadovoljava}$$

$$k_m \cdot \frac{\sigma_{m,y,d}}{f_{m,y,d}} + \frac{\sigma_{m,z,d}}{f_{m,z,d}} = 0,13 + 0,01 = 0,14 \leq 1,0 - \text{zadovoljava}$$

## Poprečna sila

$$\tau_d \leq f_{v,d}$$

$k_{cr}$	<b>0,67</b>	-
$\tau_{y,d}$	<b>0,0</b>	MPa
$\tau_{z,d}$	<b>0,8</b>	MPa
$f_{v,d}$	<b>2,5</b>	MPa
Provjera $\tau_y$	<b>0,01</b>	zadovoljava
Provjera $\tau_z$	<b>0,31</b>	zadovoljava
Interakcija	<b>0,09</b>	zadovoljava

## Torzija

$$\tau_{tor,d} \leq k_{shape} \cdot f_{v,d}$$

$$k_{shape} = \min \left\{ 1 + \frac{0,15h}{b}; 2,0 \right\} - \text{za pravokutne poprečne presjeke}$$

$\tau_{tor,d}$	<b>0,2</b>	MPa
$k_{shape}$	<b>1,08</b>	-
$f_{v,d}$	<b>2,2</b>	MPa
Provjera	<b>0,06</b>	-
Interakcija poprečne sile	<b>0,15</b>	-

## Kombinacija savijanja i uzdužne sile (vlačne)

$$\frac{\sigma_{t,0,d}}{f_{t,0,d}} + \frac{\sigma_{m,y,d}}{f_{m,y,d}} + k_m \cdot \frac{\sigma_{m,z,d}}{f_{m.z.d}} \leq 1,0$$

$$\frac{\sigma_{t,0,d}}{f_{t,0,d}} + k_m \cdot \frac{\sigma_{m,y,d}}{f_{m,y,d}} + \frac{\sigma_{m,z,d}}{f_{m.z.d}} \leq 1,0$$

$f_{t,0,d}$	<b>14,5</b>	MPa
$f_{m,y,d}$	<b>18,2</b>	MPa
$f_{m.z.d}$	<b>17,3</b>	MPa
$k_m$	<b>0,70</b>	-

$$\frac{\sigma_{t,0,d}}{f_{t,0,d}} + \frac{\sigma_{m,y,d}}{f_{m,y,d}} + k_m \cdot \frac{\sigma_{m,z,d}}{f_{m.z.d}} = 0,02 + 0,18 + 0,01 = 0,21 \leq 1,0 - zadovoljava$$

$$\frac{\sigma_{t,0,d}}{f_{t,0,d}} + k_m \cdot \frac{\sigma_{m,y,d}}{f_{m,y,d}} + \frac{\sigma_{m,z,d}}{f_{m.z.d}} = 0,02 + 0,13 + 0,01 = 0,16 \leq 1,0 - zadovoljava$$

## Kontrola stabilnosti

Greda izložena savijanju ili kombinaciji savijanja i tlačnog djelovanja

$$\sigma_{m,d} \leq k_{crit} \cdot f_{m,d}$$

$$(\frac{\sigma_{m,d}}{k_{crit} \cdot f_{m,d}})^2 + \frac{\sigma_{c,0,d}}{k_{c,z} \cdot f_{c,o,d}} \leq 1,0$$

Parametri		
Elastični kritični moment $M_{y,crit}$	<b>631,13</b>	kNm
Kritično naprezanje uslijed savijanja $\sigma_{m,crit}$	<b>132,81</b>	MPa
$\lambda_{rel,m}$	<b>0,13</b>	-
$k_{crit}$	<b>1,00</b>	-
Provjera	<b>0,18</b>	<b>zadovoljava</b>
$M_{y,crit}$ parametri		
$G_{0,05}$	<b>600</b>	MPa
$L$	<b>7,5</b>	m
$L_{ef}/L$	<b>0,80</b>	
$L_{ef}$	<b>6</b>	m

## POZ.3 -Stabilizacija – presjek : 140/160 [mm] –C24

Kombinacija	
EN-ULS (STR/GEO) Set B	1,35*LC1+1,35*LC2+1,50*LC3+0,75*LC4+0,90*LC6

Osnovni podaci	
Parcijalni koeficijent sigurnosti $\gamma_m$ za puno drvo	1,30

Podaci o materijalu		
$f_{m,k}$	24,0	MPa
$f_{t,o,k}$	14,5	MPa
$f_{t,90,k}$	0,4	MPa
$f_{c,o,k}$	21,0	MPa
$f_{c,90,k}$	2,5	MPa
$f_{v,k}$	4,0	MPa
Tip drva	Puno drvo	

Rezne sile		
$N_{Ed}$	-52,06	kN
$V_{y,Ed}$	0,00	kN
$V_{z,Ed}$	0,00	kN
$T_{Ed}$	0,00	kNm
$M_{y,Ed}$	0,00	kNm
$M_{z,Ed}$	0,00	kNm

Faktor modifikacije		
Trajanje opterećenja		kratkotrajno
Faktor modifikacije - $k_{mod}$		0,90

Tlačno naprezanje paralelno s vlakancima

$$\sigma_{c,0,d} \leq f_{c,0,d}$$

$\sigma_{c,0,d}$	2,3	MPa
$f_{c,0,d}$	14,5	MPa
Provjera	0,16	-

## Kontrola stabilnosti

Element izložen tlačnom naprezanju ili tlačnom naprezanju i savijanju

$$\frac{\sigma_{c,0,d}}{k_{c,y} \cdot f_{c,0,d}} + \frac{\sigma_{m,y,d}}{f_{m,y,d}} + k_m \cdot \frac{\sigma_{m,z,d}}{f_{m,z,d}} \leq 1,0$$

$$\frac{\sigma_{c,0,d}}{k_{c,z} \cdot f_{c,0,d}} + k_m \cdot \frac{\sigma_{m,y,d}}{f_{m,y,d}} + \frac{\sigma_{m,z,d}}{f_{m,z,d}} \leq 1,0$$

gdje je:

$$k_{c,y} = \frac{1}{k_y + \sqrt{k_y^2 + \lambda_{rel,y}^2}}$$

$$k_{c,z} = \frac{1}{k_z + \sqrt{k_z^2 + \lambda_{rel,z}^2}}$$

pri čemu vrijedi:

$$k_y = 0,5 \cdot (1 + \beta_c(\lambda_{rel,y} - 0,3) + \lambda_{rel,y}^2)$$

$$k_z = 0,5 \cdot (1 + \beta_c(\lambda_{rel,z} - 0,3) + \lambda_{rel,z}^2)$$

gdje je:

$$\beta_c = 0,2 \text{ za puno drvo}$$

	y-y	z-z	-
<b>L – duljina</b>	<b>5,000</b>	<b>5,000</b>	<b>m</b>
<b>k – koef. izvijanja</b>	<b>1,00</b>	<b>1,00</b>	<b>-</b>
<b>L<sub>cr</sub> – duljina izvijanja</b>	<b>5,000</b>	<b>5,000</b>	<b>m</b>
<b>vitkost – λ</b>	<b>108,26</b>	<b>123,72</b>	<b>-</b>
<b>relativna vitkost – λ</b>	<b>1,84</b>	<b>2,10</b>	<b>-</b>
<b>granica izvijanja</b>	<b>0,30</b>	<b>0,30</b>	<b>-</b>
<b>imperfekcije β<sub>c</sub></b>	<b>0,20</b>	<b>0,20</b>	<b>-</b>
<b>faktor redukcije k<sub>c</sub></b>	<b>0,26</b>	<b>0,21</b>	<b>-</b>

$$\frac{\sigma_{c,0,d}}{k_{c,y} \cdot f_{c,0,d}} + \frac{\sigma_{m,y,d}}{f_{m,y,d}} + k_m \cdot \frac{\sigma_{m,z,d}}{f_{m,z,d}} = 0,61 + 0,00 + 0,00 = 0,61 \leq 1,0 - \text{zadovoljava}$$

$$\frac{\sigma_{c,0,d}}{k_{c,z} \cdot f_{c,0,d}} + k_m \cdot \frac{\sigma_{m,y,d}}{f_{m,y,d}} + \frac{\sigma_{m,z,d}}{f_{m,z,d}} = 0,78 + 0,00 + 0,00 = 0,78 \leq 1,0 - \text{zadovoljava}$$

## 2.3 SPOJEVI

### 2.3.1 SPOJ GREDA-STUP ->DETALJ

"A"

Čavli H 4x50 mm LIM t=5mm

Ukupna sila koja odiže gredu  $F=16,82$  kN

1)Projektna vrijednost tlačne čvrstoće po omotaču rupe u drvu:

-C24 ima manju vrijednost pa se uzima kao mjerodavna

$$f_{h,1,k} = 0,082 * \rho_k * d^{-0,3} = 0,082 * 350 * 4^{-0,3} = 18,94 \text{ N/mm}^2$$

$$f_{h,1,d} = k_{mod} * f_{h,1,k} / \gamma_M = 0,9 * 18,54 / 1,30 = 13,11 \text{ N/mm}^2$$

2)Projektna vrijednost momenta tečenja spojnog sredstva

$$M_{y,k} = 180 * d^{2,6} = 180 * 4^{2,6} = 6616,5 \text{ Nmm}$$

$$M_{y,d} = M_{y,k} / \gamma_M = 6616,5 / 1,1 = 6015 \text{ Nmm}$$

3)Projektna nosivost  $R_d$  –debeli lim  $t > d$  ( $5 > 4$ )

$$R_d = 1,5 * \sqrt{2 M_y, d * f_h, 1, d * d} = 1191,39 \text{ N}$$

Broj potrebnih čavala

$$n \geq \frac{F_d}{R_d} = \frac{16,82 * 10^3}{1191,39} = 14 \rightarrow \text{odabрано 16 čavala}$$

Geometrijski uvjeti:

Potrebni razmak zabijanih čavala

$$a_1 = (5 + 5 \cos \alpha) d = 10d = 40 \text{ mm}$$

$$a_2 = 5d = 20 \text{ mm}$$

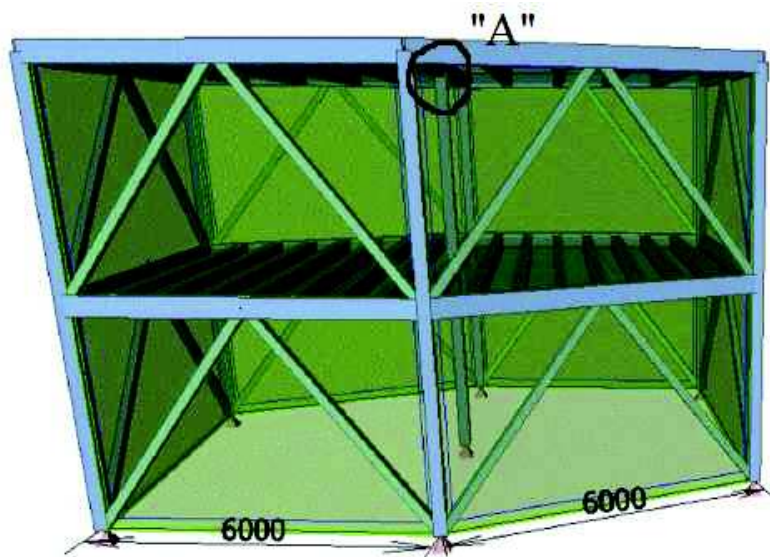
$$a_3 t = 15d = 60 \text{ mm}$$

$$a_4 t = 5d = 20 \text{ mm}$$

Potrebna širina drvenog štapa:

$$t_1 = l - t = 50 - 5 = 45 \text{ mm zadovoljava}$$

$$t_1 > 6d = 6 * 4 = 24 \text{ mm zadovoljava}$$



### 2.3.2 SPOJ GREDA-GREDA->DETALJ "B"

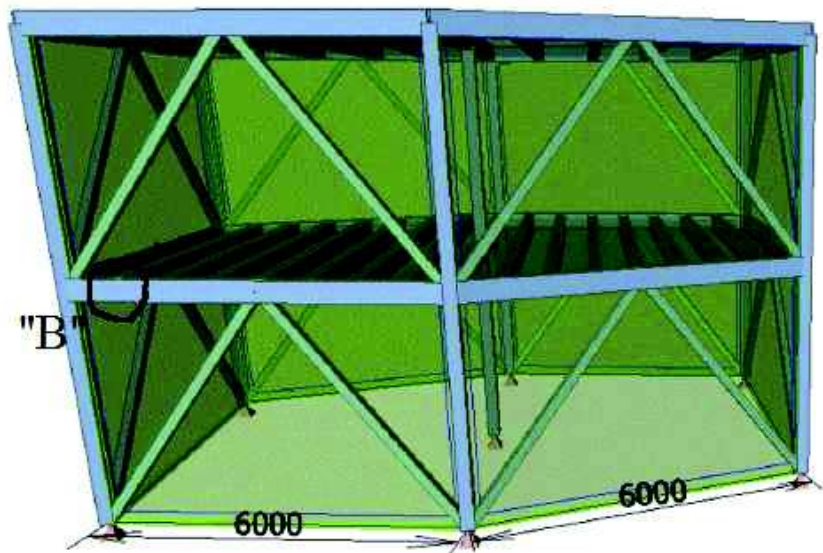
$$F_{Ed}=10,17 \text{ kN}$$

1) Projektne vrijednosti nosivosti posebnog čavla kao i veze sekundarnog nosača i čeličnog lima papuče debljine  $t=5 \text{ mm}$  s čavlima 16 H 4,0x60 za kratkotrajno opterećenje ( $k_{mod}=0.9$ ):

$$R_d=1,17 \text{ kN} \text{ za duljinu čavla}$$

$$l=60\text{mm}$$

$$R_{0,d}=n_s * R_d = 16 * 1,17 = 18,72 \text{ kN}$$



2) Dokaz nosivosti na poprečni vjak:

$$f = \frac{1}{(1 - 0.93 * \frac{b_e}{H_G})} = \frac{1}{(1 - 0.93 * \frac{300}{390})} = 3,76$$

$$t_{ef}=l-t=60-5=55\text{mm} > \max t_{ef}=48\text{mm}$$

$$H_G=380\text{mm}; b_e=300\text{mm}; B^*=266\text{mm}; H^*=280\text{mm}$$

$$F_{t,90,d}=k_{mod}*f_{t,90,k}/\gamma_M=0,9*0,45/1,3=0,312 \text{ N/mm}^2$$

$$R_{t,90,d} = 5,5 * f * t_{ef}^{0,8} (H_G + 4\sqrt{B^*H^*})^{0,8} * f_{t,90,d} = 54,48 \text{ kN}$$

$$\text{Mjerodavna sila } R_{0,d}=18,72 \text{ kN}$$

$$\frac{F_{1,d}}{R_{0,d}} = \frac{10,17}{18,72} = 0,54 < 1 \text{ zadovoljava}$$

### 2.3.3 SPOJ STUP-TEMELJ → metalna pločica -> DETALJ "C"

Karakteristike materijala

Vijci M20 (k.v.8.8)

$$F_{t,Rk} = 176,6 \text{ kN}$$

$$f_{ub} = F_{t,Rk}/0,9 \cdot A_s$$

$$\text{Drvo C24} \rightarrow \rho_k = 350 \frac{\text{kg}}{\text{m}^3} \rightarrow$$

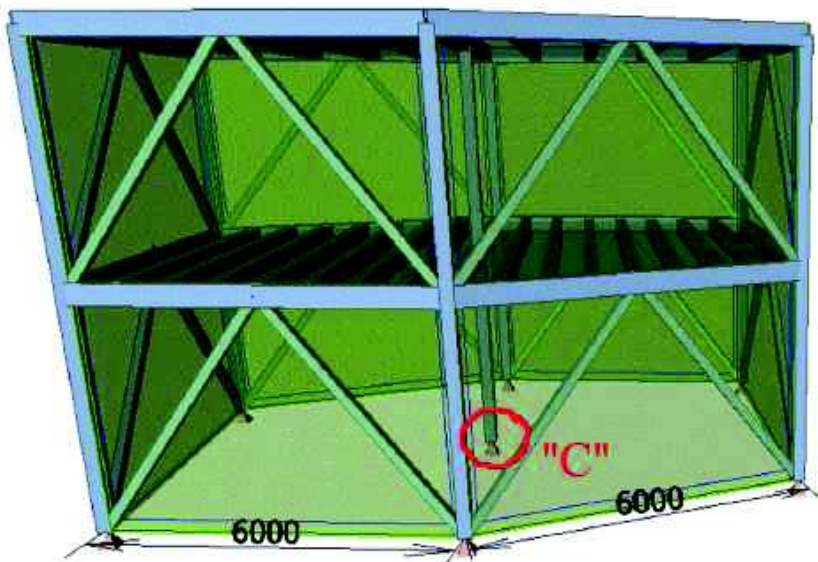
$$\gamma_M = 1,3$$

Uporabna klasa 2. → kratkotrajno

$$\text{opterećenje} \rightarrow k_{mod} = 0,9$$

Spoj čelične papuče i stupa

→dvorezni spoj



$$a = 4d = 4 \cdot 20 = 80 \text{ mm} - \text{min. razmak vijaka u smjeru okomitom na vlakanca}$$

Karakteristični moment tečenja spajala

$$M_{y,Rk} = 0,3 \cdot f_{ub} \cdot d^{2,6} = 0,3 \cdot 800 \cdot 20^{2,6} = 579280 \text{ Nmm}$$

Proračunska vrijednost momenta tečenja spajala

$$M_{y,Rd} = \frac{M_{y,Rk}}{\gamma_M} = \frac{579280}{1,1} = 526618,2 \text{ Nmm}$$

Karakteristična čvrstoća po omotaču rupe kada opterećenje djeluje u pravcu vlakana:

$$f_{h,0,k} = 0,082 \cdot (1 - 0,01d) \rho_k = 0,082 \cdot (1 - 0,01 \cdot 20) \cdot 350 = 22,96 \text{ N/mm}^2$$

$$k_{90} = 1,30 + 0,015 \cdot d = 1,30 + 0,015 \cdot 20 = 1,6$$

$$f_{h,\alpha,k} = \frac{f_{h,0,k}}{k_{90} \cdot \sin^2 \alpha + \cos^2 \alpha} = \frac{22,96}{1,6 \cdot \sin^2 90 + \cos^2 90} = 14,35 \text{ N/mm}^2$$

Proračunska čvrstoća po omotaču rupe osnovnog materijala:

$$f_{h,0,d} = k_{mod} \cdot \frac{f_{h,\alpha,k}}{\gamma_M} = 0,9 \cdot \frac{14,35}{1,3} = 9,93 \text{ N/mm}^2$$

Proračunska otpornost jednog vijka :

$$R_d = \min \left\{ \begin{array}{l} 0,5 \cdot f_{h,d} \cdot t_2 \cdot d = 0,5 \cdot 9,93 \cdot 220 \cdot 20 = 21846 \text{ N} \\ 2,3 \sqrt{M_{y,Rd} \cdot f_{h,d} \cdot d} = 2,3 \cdot \sqrt{526618,2 \cdot 9,93 \cdot 20} = 23521,5 \text{ N} \end{array} \right.$$

$$R_d = 21846 \text{ N}$$

Doprinos jednog vijka:

$$F_{vd} = \frac{V_{Ed}}{n} = \frac{5,20}{5} = 1,04 \text{ kN}$$

$$F_{Nd} = \frac{N_{Ed}}{n} = \frac{102}{5} = 20,4 \text{ kN}$$

$$F_d = \sqrt{F_N^2 + F_V^2} = 20,4 \text{ kN}$$

$$R_d = 21,85 \text{ kN} > 20,4 \text{ kN}$$

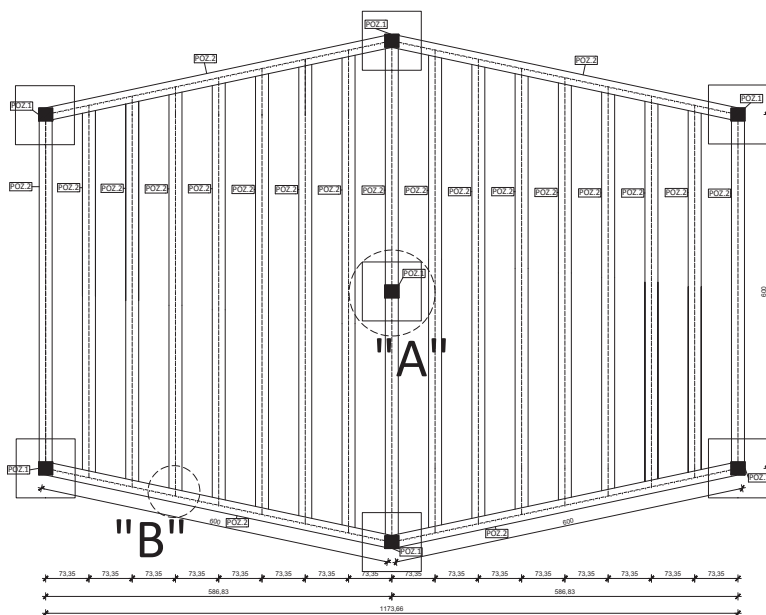
$$\frac{F_d}{R_d} = \frac{20,4}{21,85} = 0,93 < 1,0 \rightarrow \text{zadovoljava}$$

### 3 LITERATURA

1. N. Torić, Materijali s predavanja Osnove drvenih konstrukcija
2. A. Bjelanović, V. Rajčić, Drvene konstrukcije prema europskim normama, GF Zagreb, 2005.
3. Norma nHRN EN 1995-1-1, Eurokod 5: Projektiranje drvenih konstrukcija-DIO 1-1: Općenito-Opća pravila i pravila za zgrade (EN 1995-1-1:2004+AC:2006+A1:2008)
4. Norma prEN 1991-1-4, Eurocode 1: Actions on structures-General actions-Part 1-4: Wind actions
5. Norma prEN 1991-1-4, Eurocode 1: Actions on structures-General actions-Part 1-3: Snow loads

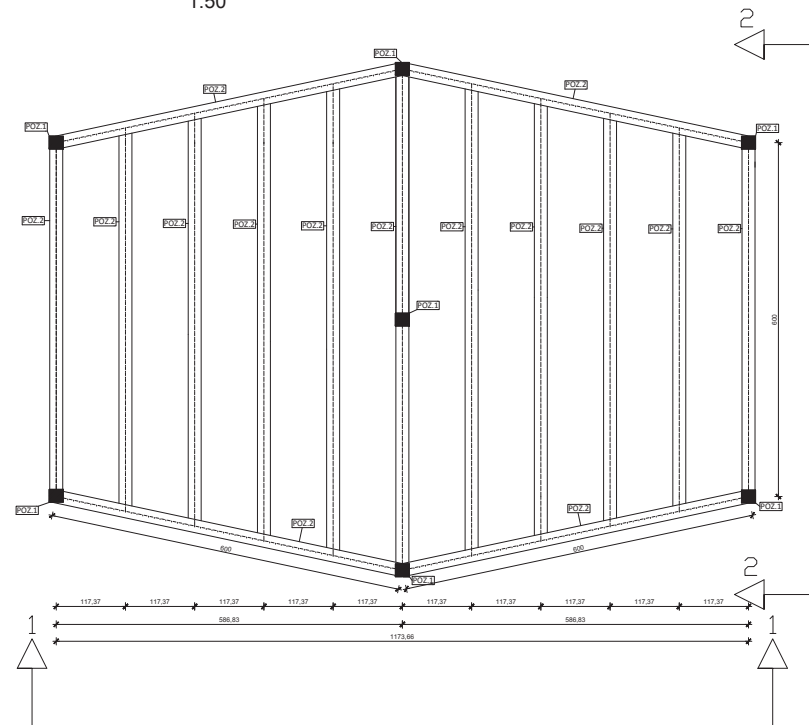
## **4 PLANOVI POZICIJA**

TLOCRT MEĐUKATNE KONSTRUKCIJE  
1:50



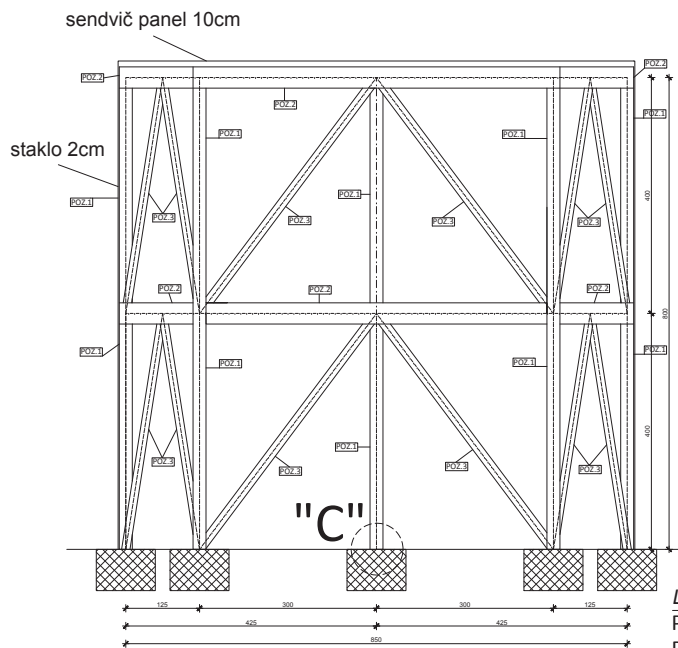
**LEGENDA:**  
POZ.1-STUPOVI 22/24  
POZ.2-GREDE 22/36

TLOCRT KROVNE KONSTRUKCIJE  
1:50

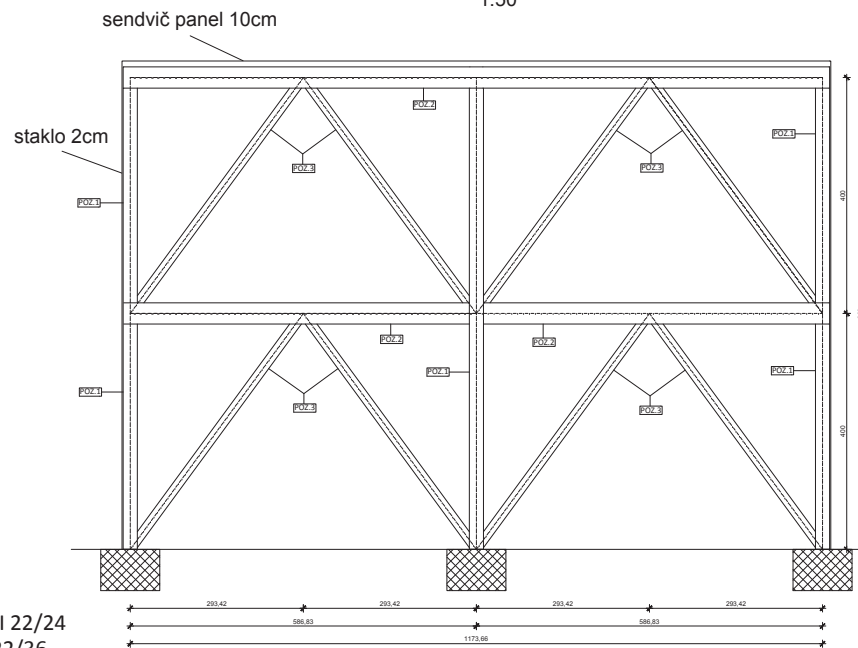


INVESTITOR / NARUČITELJ: ABC d.o.o. Zagreb	GRADJVNIK: Drveni objekti Zagreb	PROJEKTANT: Projekt konstrukcije
GRADJENJE: Dreveni objekti Zagreb	PROJEKTANTSKI INGENJERIJSKI FAKULTET Sveučilište u Zagrebu Univerzitetska ulica 1 10000 Zagreb, Hrvatska	DOKUMENTA Dokumentacija projekta
VRIŠTA PROJEKTA: Projekt konstrukcije		GAVNA PROJEKTA: GLAVNI PROJEKT
SADRŽAJ: TLOCRTI		
PROJECTANT: Domagoj Stanica	MUERLO: 1:50	
	DATUM: lipanj 2007.	
	LEPRA:	
	SPROJ. PROJEKTA:	
	SPROJ. PRLOGA:	1
	OZNAKA DOKUMENTA:	

POGLED 1-1  
1:50



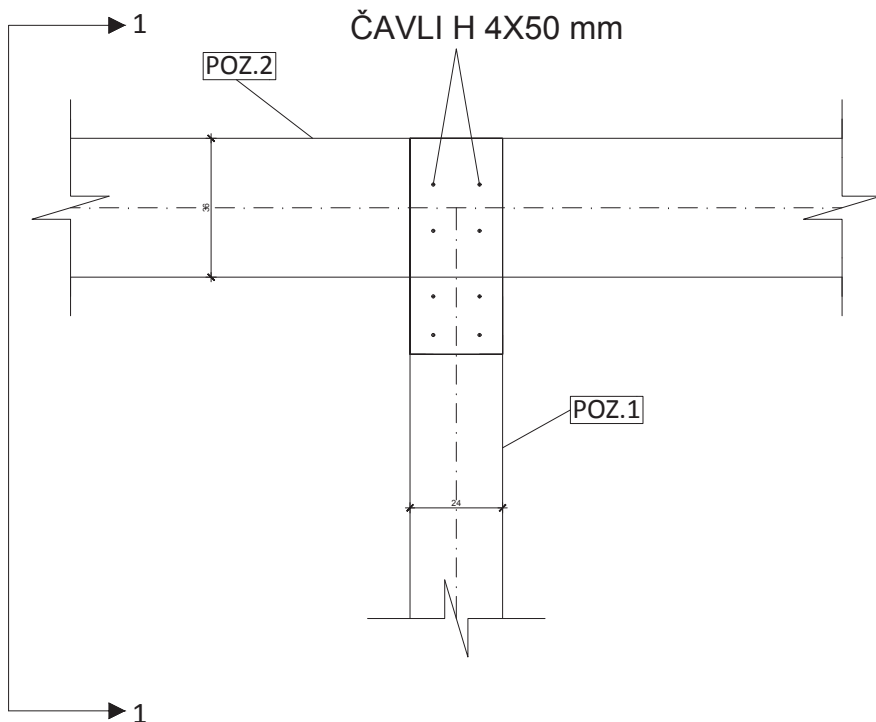
POGLED 2-2  
1:50



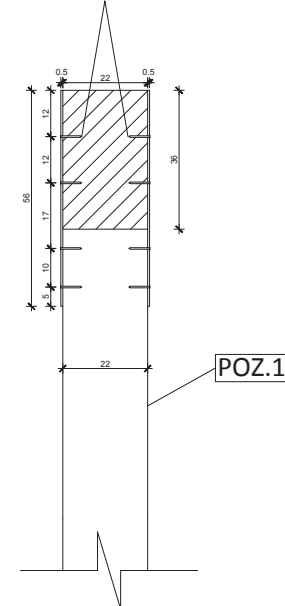
INVESTITOR / NARUČITELJ: ABC d.o.o. Zagreb	GRADJVNIK: Drveni objekti Zagreb	PROJEKTANT: Projekt konstrukcije	GAZNA PROJEKTA: GLAVNI PROJEKT
GRADNJA:	DRVENI OBJEKTI	PRIMENJIVANO KONSTRUKCIJSKO PRAVILNOST ZAKLJUČENO 1. Siječnja 2018.	DODATNO DOKUMENTIRANJE ZAKLJUČENO 1. Siječnja 2018.
SADRŽAJ:	POGLEDI		
PROJECTANT:	MUERLO: 1:50	DATUM:	rujan 2018.
	OPRAVA:		
	SPROJ:		
	SPROJ. PRLOGA:		2
	DZNAKA DOKUMENTA:		

DETALJ "A"  
1:10

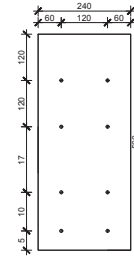
POGLED 1-1



ČAVLI H 4X50 mm



ČELIČNI LIM

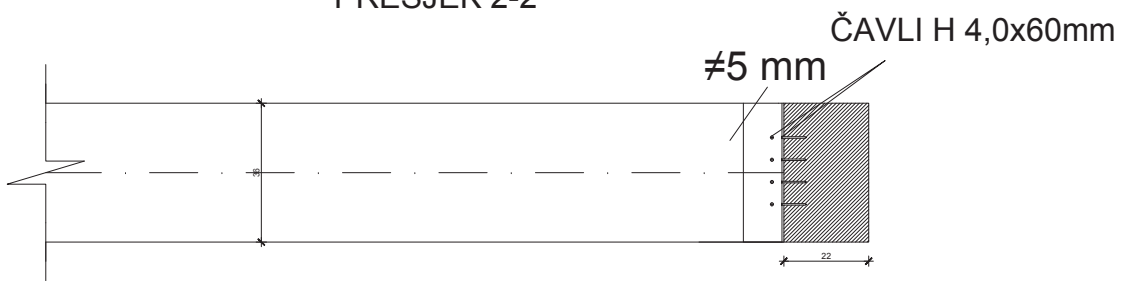


#560,240,5

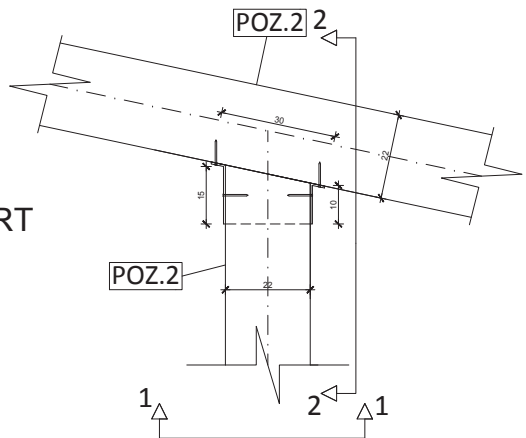
INVESTITOR / NARUČITELJ:	ABC d.o.o. Zagreb	SVELTE ŠKOLE U SPLITU GRADIVOLOGIČKI ARHITEKTONSKI FAKULTET 20300 SPLIT MARČE KRAJŠKE 45
GRADEVINA:	Drveni objekt Zagreb	
VRSTA PROJEKTA:	Projekt konstrukcije	
RAZINA PROJEKTA:	GLAVNI PROJEKT	
SADRŽAJ:	Detalj spoja	
PROJEKTANT:	Domagoj Škarica	MJERILO: 1:10
DATUM:	rujan, 2018.	
BROJ PRILOGA:	3	

DETALJ "B"  
1:10

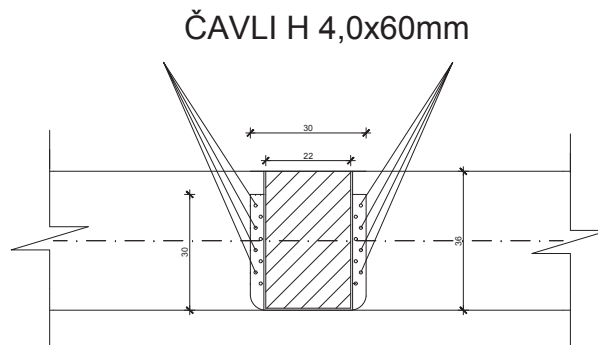
PRESJEK 2-2



TLOCRT



POGLED 1-1



INVESTITOR / NARUČITELJ:	ABC d.o.o. Zagreb	SVELTE D.R. U SPLITU GRADIVOLOGIJSKI ARHITEKTONSKI FAKULTET 20300 SPLIT SRBIĆE HRVATSKA 45
GRADEVINA:	Druveni objekt Zagreb	
VRSTA PROJEKTA:	Projekt konstrukcije	
RAZINA PROJEKTA:	GLAVNI PROJEKT	
SADRŽAJ:	Detalj spoja	
PROJEKTANT:	Domagoj Škarica	MJERILO: 1:10
DATUM:	rujan, 2018.	
BROJ PRILOGA:		4

